

01

Решение краевых задач электродинамики в областях фрактальной геометрии методом R -функций

© В.Ф. Кравченко, М.А. Басараб

Институт радиотехники и электроники РАН, Москва

E-mail: kravchenko_vf@fromru.com

Поступило в Редакцию 22 мая 2003 г.

Впервые численно-аналитический метод R -функций применен к решению краевых задач электродинамики во фрактальных областях типа „ковер Серпинского“ и „остров Коха“.

Известно, что граница среды существенно влияет на структуру электромагнитного поля и характер распространения волн, так как вследствие их взаимодействия с поверхностью раздела сред возникают явления полного либо частичного отражения, дифракции и т.п. Один из путей моделирования реальных поверхностей раздела сред заключается в использовании идей фрактальной геометрии [1,2]. В работе впервые рассмотрено применение метода R -функций (RFM) [3] к решению краевых задач электростатики и электродинамики в областях фрактальной геометрии.

Пусть сложная область $\Omega \subset R^2$ с границей $\partial\Omega$ задана в виде комбинации простых областей $\{\Omega_k\}_{k=1}^m$ с помощью теоретико-множественных операций пересечения, объединения и дополнения. Если известны неявные уравнения границ этих областей $\{\omega_k(x, y) = 0\}_{k=1}^m$, такие что $\omega_k > 0$ при $(x, y) \in \Omega_k$ и $\omega_k < 0$ при $(x, y) \notin \bar{\Omega}_k = \Omega_k \cup \partial\Omega_k$, то с помощью RFM возможно построение уравнения границы $\partial\Omega$ $\omega(x, y) = 0$, причем функция ω положительна внутри Ω , отрицательна за ее пределами и равна нулю на $\partial\Omega$. Наиболее распространенной системой R -функций является система \mathcal{R}_0 , алгебрологические операции которой имеют вид

$$f_1 \wedge f_2 \equiv f_1 + f_2 - \sqrt{f_1^2 + f_2^2}, \quad f_1 \vee f_2 \equiv -(\bar{f}_1 \wedge \bar{f}_2), \quad \bar{f} \equiv -f. \quad (1)$$

Пусть внутри ограниченной области $\Omega \subset R^2$ необходимо найти решение краевой задачи электростатики (уравнение Пуассона для искомого потенциала u)

$$\Delta u = f \text{ в } \Omega, \quad (2)$$

или электродинамики (уравнение Гельмгольца для потенциала Герца)

$$\Delta u + \lambda u = 0 \text{ в } \Omega, \quad (3)$$

с граничными условиями Дирихле

$$u|_{\partial\Omega} = 0. \quad (4)$$

Решение (2)–(4) будем искать в виде структуры Канторовича [3]

$$u = \omega \sum_{i=0}^N c_i \psi_i, \quad (5)$$

где ψ_i — известные базисные функции, а c_i — неопределенные коэффициенты. Рассмотрим решение задач (2)–(4) с помощью структуры (5) в таких областях фрактальной геометрии, как ковер Серпинского и остров Коха [1]. *Ковер Серпинского* строится следующим образом. Исходный квадрат разбивается на 9 равновеликих квадратов, центральный из которых исключается. Далее каждый из оставшихся квадратов подвергается аналогичной процедуре и т.д. Устремляя этот процесс к бесконечности, получаем в итоге фрактальный объект — ковер Серпинского. Его дробная размерность $D = \lg 8 / \lg 3 \approx 1.893$. Если бесконечный процесс прервать на k -м шаге, то получим предфрактал k -го уровня. Согласно [4], функция границы предфрактала Серпинского имеет вид

$$\omega_k(x, y) = \begin{cases} \omega_0(x, y), & k = 0, \\ \omega_{k-1}(x, y) \wedge F_k(x, y), & k = 1, 2, \dots, \end{cases} \quad (6)$$

$$F_k(x, y) = -3^{-k} \omega_0[6 \arcsin[\sin(3^{k-1} \pi x / 2)] / \pi, 6 \arcsin[(3^{k-1} \pi y / 2)] / \pi],$$

$$\omega_0(x, y) = [(a^2 - x^2) \wedge (a^2 - y^2)] / 2a. \quad (7)$$

На рис. 1, a показаны линии уровня функции ω_2 границы предфрактала 2-го уровня ковра Серпинского. *Кривая Коха* строится путем следующей процедуры. Из начального отрезка-основы удаляется средняя

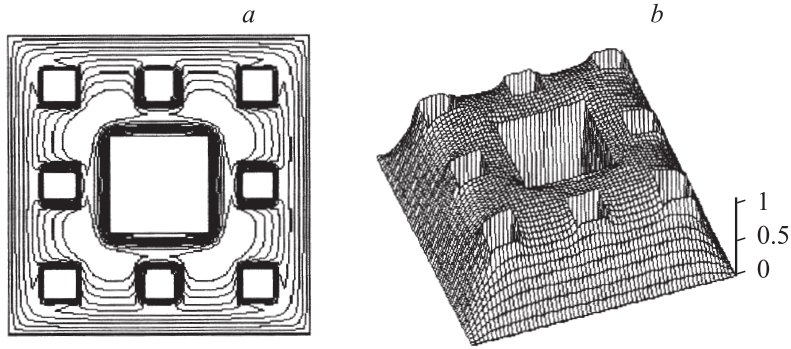


Рис. 1. Линии уровня функции области предфрактала 2-го уровня ковра Серпинского (а) и распределения потенциала задачи (2), (8) (b).

третья часть и заменяется сторонами равностороннего треугольника. Затем такая же процедура применяется ко всем получаемым отрезкам, а предел этих операций и дает кривую Коха с фрактальной размерностью $D = \lg 4 / \lg 3 \approx 1.26$. Пусть исходная область есть полуплоскость $y \leq 0$. Тогда уравнение ее границы $\omega_0 = -y = 0$. Алгоритм RFM нахождения уравнения предфрактала k -го уровня ($k \geq 1$) состоит из двух этапов: 1) R -дизъюнкция функции ω_{k-1} со своим отражением относительно прямой $y = -x\sqrt{3} + 3^{k-1}\sqrt{3}$:

$$\begin{aligned} \tilde{\omega}_k(x, y) = \omega_{k-1}(x, y) \vee \\ \vee \omega_{k-1}[(-x - y\sqrt{3} + 3^k)/2, (-x\sqrt{3} + y + 3^{k-1}\sqrt{3})/2]; \end{aligned}$$

2) R -конъюнкция функции $\tilde{\omega}_k$ со своим отражением относительно прямой $x = 3^k/2$:

$$\omega_k(x, y) = \tilde{\omega}_k(x, y) \wedge \tilde{\omega}_k(3^k - x, y).$$

Кривая Коха, построенная на сторонах равностороннего треугольника, дает геометрический объект, называемый островом (снежинкой) Коха [1]. Уравнение границы острова Коха получается применением трех операций R -конъюнкции к функциям кривых Коха, повернутых

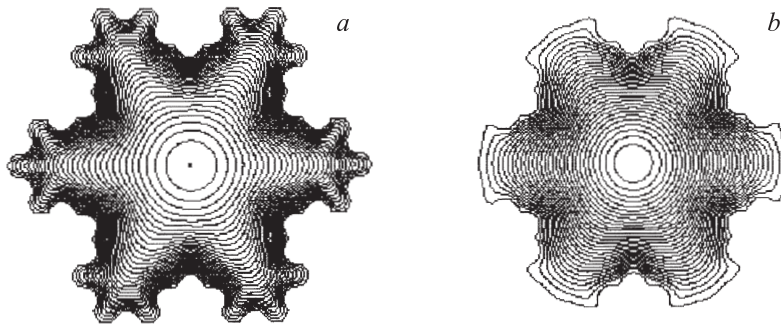


Рис. 2. Линии уровня функции области предфрактала острова Коха 3-го порядка (а) и основного типа волны E_{01} (b).

относительно друг друга на 60° :

$$\begin{aligned}
 W_k(x, y) = & \omega_k(y + 3^k/2, x - 3^{k-1}\sqrt{3}/2) \wedge \\
 & \wedge \left[\omega_k[y - x\sqrt{3} + 3^k]/2, (-x - y\sqrt{3} - 3^{k-1}\sqrt{3})/2 \right] \wedge \\
 & \wedge \omega_k[(-y - x\sqrt{3} + 3^k)/2, (-x + y\sqrt{3} - 3^{k-1}\sqrt{3})/2].
 \end{aligned}$$

На рис. 2,а показаны графики линий уровня функции предфрактала острова Коха 3-го порядка, построенной с помощью R -операций системы \mathcal{R}_0 (1).

Можно видеть, что в отличие от фрактальных областей области предфрактальной геометрии имеют кусочно-гладкую границу. Поэтому базисные функции $\omega\psi_i$ структуры Канторовича (5) образуют полную координатную систему [3], обеспечивающую сходимость вариационных и проекционных методов решения краевых задач в таких областях. Вопросы асимптотического поведения решений при стремлении порядка предфрактала к бесконечности подробно рассмотрены в [1].

Пример 1. Решим задачу Дирихле для уравнения Лапласа (2) ($f = 0$) в области, представляющей собой предфрактал k -го уровня Серпинского. Здесь u — искомый потенциал. Пусть на внешней части границы $\partial\Omega_0$ области Ω задан потенциал f_0 , а к внутренним участкам

Таблица 1.

Степень полинома $2M$	Количество функций $N + 1$	Равномерная норма разности $u^{(M)} - u^{(M-1)}$	L_2 -норма разности $u^{(M)} - u^{(M-1)}$
2	3	0.497	0.367
4	6	0.105	0.087
6	10	0.093	0.125
8	15	0.076	0.104

границы $\partial\Omega' = \partial\Omega \setminus \partial\Omega_0$ приложен потенциал f' , т. е.

$$u = \begin{cases} f_0, & (x, y) \in \partial\Omega_0, \\ f', & (x, y) \in \partial\Omega \setminus \partial\Omega_0. \end{cases} \quad (8)$$

Приближенное решение задачи ищется в виде структуры Канторовича

$$u = \omega_k \sum_{i=0}^N c_i \psi_i + \frac{f' \omega_0 + f_0 \omega'}{\omega_0 + \omega'}, \quad \omega' = \Lambda_{j=1}^k F_j.$$

В качестве базисных функций ψ_i выберем двумерные полиномы Лежандра порядка $2M$, ограничившись в силу симметрии лишь четными степенями по обоим переменным:

$$L_{k(i,j)}(x, y) = L_{2i}(ax)L_{2j}(ay), \quad i + j = \overline{0, M}.$$

Здесь функция расстановки $k(i, j) = (i + j)(i + j + 1)/2 + j$. Неопределенные компоненты c_i структуры решения найдем методом Бубнова–Галеркина. В качестве иллюстрации сходимости в табл. 1 приведены относительные погрешности разности между последовательными приближениями $u^{(M)}$, $u^{(M-1)}$ в равномерной и L_2 -нормах. На рис. 1, *b* приведено распределение потенциала в предфрактале 2-го уровня ковры Серпинского для $f_0 = 0$, $f' = 1$, $M = 4$ ($N = 14$).

Пример 2. Решалась задача расчета TM -волн в регулярном волноводе с поперечным сечением в виде предфрактала острова Коха. При этом находились решения (собственные функции) (3) с условиями (4) относительно продольной компоненты электрического поля $u = E_z$, где $\sqrt{\lambda}$ — поперечное волновое число. Структура решения бралась

Таблица 2.

	Собственные числа острова Коха и мажорирующих круговых областей							
ν	2.405	3.832	5.135	5.520	7.016	8.417	8.654	10.174
$R\sqrt{\lambda}$	3.760	5.984	5.987	9.390	9.719	10.573	11.198	13.301
$\nu R/r$	4.166	6.637	8.894	9.561	12.152	14.579	14.989	17.622

в виде (5), где $\omega = W_k$. В качестве базисных использовались полиномы Лежандра порядка M . На рис. 2, *b* показана структура основного типа колебаний (волна E_{01}) для предфрактала острова Коха 3-го порядка. Во второй строке табл. 2 приведены первые восемь нормированных собственных чисел, полученных при следующих параметрах: порядок предфрактала $K = 3$; вертикальный размер $h = 10$ mm; горизонтальный размер $l = 2h/\sqrt{3} \approx 12$ mm; $M = 3$ ($N = 9$). В качестве грубой оценки для сравнения в первой и последней строках табл. 2 приведены собственные значения мажорирующих круговых областей радиусами $R = h/\sqrt{3}$ и $r = h/3$ (ν — нули функций Бесселя). Интересно отметить практическое вырождение собственных значений, соответствующих некоторым парам собственных функций. Данный эффект наблюдался при различных параметрах фрактальности K .

На основании результатов численного эксперимента сделан вывод об эффективности применения RFM в случае областей с фрактальной геометрией границ. Предложенный подход может быть распространен на широкий класс других фрактальных объектов и решение внешних задач рассеяния электромагнитных волн на фрактальных структурах.

Список литературы

- [1] *Falconer K.* Techniques in Fractal Geometry. New York: John Wiley & Sons, 1997. 256 p.
- [2] *Кравченко В.Ф.* Лекции по теории атомарных функций и некоторым их приложениям. М.: Радиотехника, 2003. 512 с.
- [3] *Рвачев В.Л.* Теория R -функций и некоторые ее приложения. Киев: Наук. думка, 1982. 552 с.
- [4] *Басараб М.А., Кравченко В.Ф.* // Электромагнитные волны и электронные системы. 2001. Т. 6. № 6. С. 31–37.